

А.С. Абатуров, Е.А. Гаврилин, М.Б. Киселев,  
Н.Н. Наумова, С.Б. Петров, А.П. Смирнов

# Программы и база исходных данных для расчетов спектральных характеристик атомов и молекул в УФ-, видимом и ИК-диапазонах при моделировании высокотемпературных процессов в газовых средах

ОАО «Расстр», г. Санкт-Петербург

Поступила в редакцию 27.12.2002 г.

Приведено описание комплекса программ и базы исходных данных атомарных и молекулярных фундаментальных констант и спектроскопических параметров для математического моделирования и расчетов оптических характеристик газов в диапазонах температур 200–10000 К, давлений  $10^{-5}$ –10,0 атм при произвольных интервалах усреднения в спектральном диапазоне 0,1–25,0 мкм. Наиболее существенное отличие комплекса от большинства ранее разработанных программных систем состоит в возможности расчетов параметров тонкой и сверхтонкой структуры электронно-колебательно-вращательных спектров молекул в широком диапазоне температур и давлений. Приведены примеры расчетов положений вращательных линий, лямбда-удвоения, факторов Хенли–Лондона и результаты тестирования спектра излучения молекулы NO ( $A^2\Sigma^+ - X^2\Pi$ ) при  $T = 4600$  К, рассчитанного с использованием нашей программы.

Программы и базы исходных данных, позволяющие проводить расчеты спектров нагретых газовых сред в широком диапазоне спектра, разрабатываются уже не одно десятилетие. Они отличаются по составу компонент, набору входных и выходных параметров и областям практического применения (см., например [1–3]).

В настоящей статье представлено краткое описание комплекса прикладных программ и базы исходных данных, предназначенных для расчетов на персональных компьютерах спектральных характеристик высокотемпературных газов в УФ-, видимом, ИК-диапазонах при моделировании оптических явлений в механике сплошной среды; лучистого теплообмена тел, движущихся в атмосферах планет; при обработке результатов измерений спектров нагретых газов; решении задач радиационного теплообмена в энергетике; высокотемпературной химии и других исследованиях, а также в различных технологических установках.

Комплекс включает в себя совокупность алгоритмов, описывающих оптические свойства атомов и молекул; банки исходных данных, содержащих спектроскопические константы нейтральных и ионизированных частиц; банк данных фундаментальных физических констант и алгоритм для их пересчета в различных системах единиц; библиотеки программ и архивов. В нем содержатся исходные данные, позволяющие рассчитывать параметры тонкой и гипертонкой структуры в электронных, колебательных и вращательных спектрах двухатомных молекул; коэффициенты и сечения поглощения и излучательные способности различных нагретых газообразных веществ, а также сечения термозного поглощения, фотодиссоциации и фотоиониза-

ции в диапазонах температур 200–10000 К, давлений  $10^{-5}$ –10 атм и длин волн 0,1–25,0 мкм при произвольных спектральных интервалах усреднения в условиях локального термодинамического равновесия и неравновесных условиях, когда состояние среды определяется разными (электронной, колебательной и вращательной) температурами. Выходными параметрами комплекса являются спектральные распределения коэффициентов и сечений поглощения и излучательные способности атомарных и молекулярных частиц при различных внешних условиях. При разработке комплекса использованы справочные данные, результаты оригинальных работ и сведения, приведенные в периодической литературе.

Для расчетов коэффициентов и сечений поглощения или излучательных способностей атомов и атомарных ионов используются фундаментальные константы: положение линии (волновое число), сила осциллятора и сила (интенсивность) спектральной линии, энергии и статистические веса нижнего и верхнего уровней атомарного перехода [4].

Набор спектроскопических фундаментальных констант при расчетах параметров тонкой и сверхтонкой структуры спектров молекул включает: коэффициенты Данхэма; минимальные энергии соответствующего электронного состояния; частоты колебаний молекул; постоянные ангармоничности; вращательные постоянные соответствующего состояния; постоянные колебательно-вращательного взаимодействия, значения постоянных спин-орбитального, спин-вращательного взаимодействий и постоянной, характеризующей связь спин-спинового взаимодействия, и пр. [5, 6].

Положение вращательных спектральных линий в электронно-колебательных переходах определяется вкладом электронной, колебательной и вращательной составляющих. Электронная и колебательная составляющие вклада в положение спектральных линий выражаются через коэффициенты Данхэма [7]. Вращательная составляющая, определяющая тонкую и сверхтонкую структуру спектра, зависит от характеристик верхнего и нижнего электронных состояний перехода, мультиплетности верхнего и нижнего состояния, случаев Гунда для верхнего и нижнего состояний [5].

Пример расчетов параметров тонкой структуры колебательной полосы  $V = 1 - V_{\text{up}} = 1$  электронного перехода  $A^2\Sigma^+ - X^2\Pi$  молекулы NO показан на рис. 1–3.

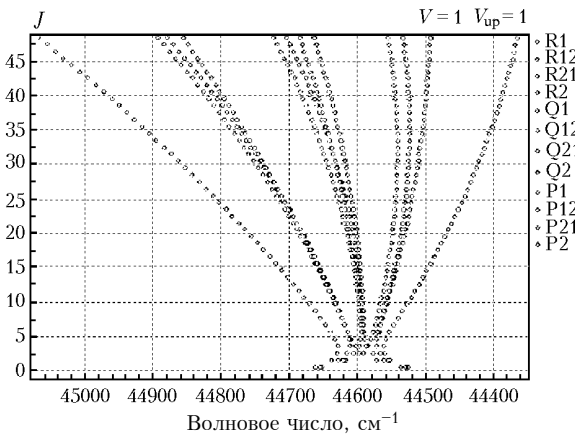


Рис. 1. Положение вращательных линий в электронном переходе  $A^2\Sigma^+ - X^2\Pi$  (1–1) молекулы NO

Справа на рисунках обозначаются вращательные ветви колебательных полос, которые в программе выделяются разными цветами. Положение вращательных линий 12 ветвей в полосе (1–1) электронного перехода  $A^2\Sigma^+ - X^2\Pi$  (1–1) молекулы NO изображено на рис. 1.

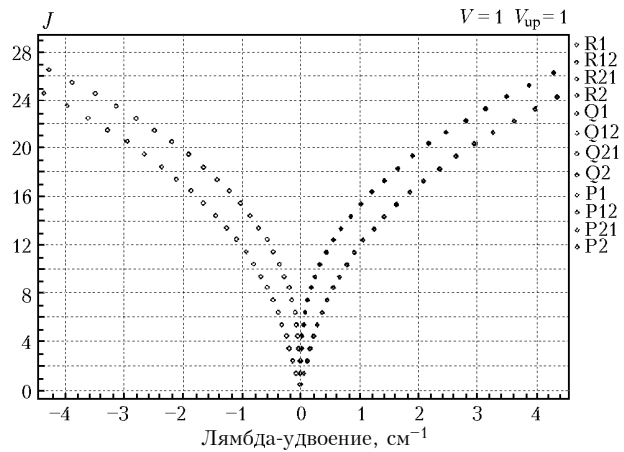


Рис. 2. Зависимость лямбда-удвоения от вращательных квантовых чисел  $J$  для перехода  $A^2\Sigma^+ - X^2\Pi$  (1–1) молекулы NO

Программа позволяет рассчитывать положение вращательных линий в электронных спектрах молекул с учетом и без учета лямбда-удвоения состояний [5]. Величины лямбда-удвоений для электронных состояний рассчитываются по формулам, приведенным в [10].

Зависимость лямбда-удвоения от вращательных квантовых чисел для молекулы NO в переходе  $A^2\Sigma^+ - X^2\Pi$  (1–1) приведена на рис. 2.

Распределение интенсивностей в электронно-колебательно-вращательных спектрах молекул определяется силами электронных переходов [8], факторами Франка–Кондона [9] и факторами Хенли–Лондона [10]. Характер расчетных зависимостей факторов Хенли–Лондона от вращательных квантовых чисел для перехода  $A^2\Sigma^+ - X^2\Pi$  (1–1) молекулы NO представлен на рис. 3.

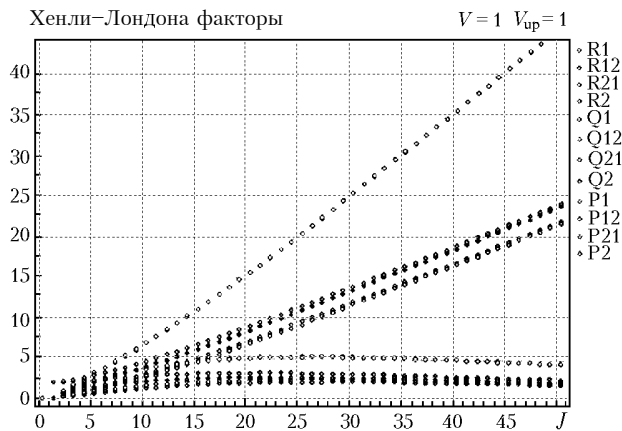


Рис. 3. Расчетные зависимости факторов Хенли–Лондона от вращательных квантовых чисел  $J$  для перехода  $A^2\Sigma^+ - X^2\Pi$  (1–1) молекулы NO

Интегральные коэффициенты поглощения вращательных линий в электронных спектрах двухатомных молекул (интенсивности линий) рассчитывались по формуле, приведенной в [11] с учетом фойгтovского контура полуширин линий.

Для сравнения результатов расчетов с результатами других авторов в комплекс включена программа тестирования. На рис. 4 показано сравнение расчета спектра излучения молекулы NO ( $A^2\Sigma^+ - X^2\Pi$ ), прове-

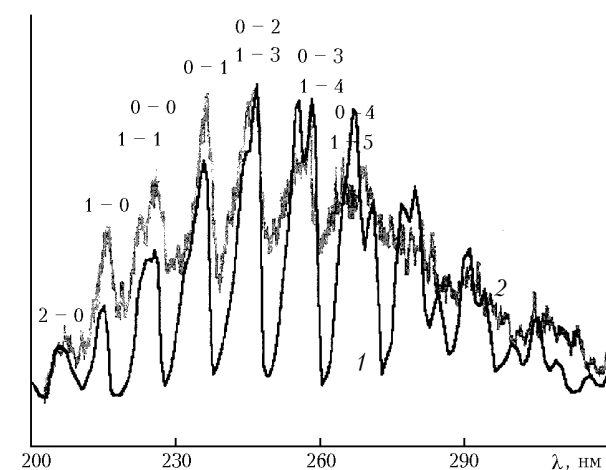


Рис. 4. Сравнение рассчитанного спектра излучения молекулы NO ( $A^2\Sigma^+ - X^2\Pi$ ) (кривая 1) с измеренным спектром флуоресценции NO, возбужденной лазером в ударной волне при  $T = 4600$  К и давлении 100 торр (кривая 2) [12]

денного с использованием нашей программы (кривая 1), с измеренным спектром флуоресценции NO, возбуж-

денной лазером в ударной волне при  $T = 4600$  К и давлении 100 торр (кривая 2) [12]. Идентификация колебательных полос приведена в [12]. Интенсивности обоих спектров даны в относительных единицах.

1. Кузнецова Л.А., Суржиков С.Т. Атлас спектральных сечений поглощения электронных и колебательных систем полос двухатомных молекул. Препр. / Ин-т проблем механики. М., 1997. № 603. С. 1–102.
2. Степанов К.Л., Станчиц Л.К., Станкевич Ю.А. Банк оптико-физических характеристик для решения задач радиационной плазмодинамики // Ж. прикл. спектроскопии. 2000. Т. 67. № 2. С. 238–243.
3. Surzhikov S.T. Spectral and narrow band directional emissivity of light-scattering and non-scattering volumes. Paper // American Inst. Aeron. Astron. (New York). 2002. AIAA 2002-3324. Р. 1–15.
4. Герцберг Г. Атомные спектры и строение атомов. М.: Изд-во иностр. лит-ры, 1948. 279 с.
5. Герцберг Г. Спектры и структура простых свободных радикалов. М.: Мир, 1971. 240 с.
6. Хьюбер К.П., Герцберг Г. Константы двухатомных молекул. М.: Мир, 1984. Ч. 1. 408 с. Ч. 2. 366 с.
7. Термодинамические свойства индивидуальных веществ: Справочник / Под ред. В.П. Глушко. М.: Наука, 1978. В 4 т. Кн. 1–2.
8. Кузнецова Л.А., Кузьменко Н.Е., Кузяков Ю.Я., Платинин Ю.А. Вероятности оптических переходов двухатомных молекул. М.: Наука, 1980. 319 с.
9. Кузьменко Н.Е., Кузнецова Л.А., Кузяков Ю.Я. Факторы Франка–Кондона двухатомных молекул. М.: ИМУ, 1984. 344 с.
10. Kovac I. Rotational structure in the spectra of diatomic molecules. Budapest: Akademiai Kiado, 1969. 289 р.
11. Суржиков С.Т. Вычислительный эксперимент в построении радиационных моделей механики излучающего тела. М.: Наука, 1992. 159 с.
12. Meier U.E., Raich G.A., Crosley D.R., Smith G.P., Eckstrom D.J. Laser-induced fluorescence decay lifetimes of shock-heated NO ( $A^2\Sigma^+$ ) // Appl. Phys. B. 1991. V. 59. № 3. Р. 138–141.

*A.S. Abaturov, E.A. Gavrilin, M.B. Kiselev, N.N. Naumova, S.B. Petrov, A.P. Smirnov. Programs and database for calculation of spectral characteristics of atoms and molecules of the visible, UV, and IR ranges for modeling high-temperature processes in gaseous media.*

The description of a complex of programs and database of initial atomic and molecular fundamental constants and spectroscopic parameters for mathematical modeling and calculations of optical characteristics of gases at temperature of 200–10000 K and pressure of  $10^{-5}$ –10.0 atm, at any intervals of averaging in the spectral range of 0.1–25.0  $\mu\text{m}$  is given. The main essential difference of the complex from the most of earlier developed program systems consists in an opportunity of calculation of fine and hyperfine structure parameters of electronic vibrational-rotational spectrum of molecules in a wide range of temperatures and pressure. Examples of calculations of positions of rotational lines, lambda-doubling, factors of Honl–London and results of testing a spectrum of radiation of the NO molecule ( $A^2\Sigma^+ - X^2\Pi$ ) at  $T = 4600$  K with use of our program are given.